

## بررسی سینتیک رفتار جذب سطحی کاتیون فلزات سنگین توسط نانوجاذب نایلون ۶/ زیرکونیا

علی مسیبی<sup>۱</sup>، حمید اصفهانی<sup>\*۱</sup>، فاطمه دبیر<sup>۲</sup>

<sup>۱</sup> گروه مهندسی مواد، دانشکاه فنی و مهندسی، دانشگاه بوعالی سینا، همدان، ایران.

<sup>۲</sup> گروه پژوهشی مواد غیرفلزی، پژوهشگاه نیرو، تهران، ایران.

تاریخ ثبت اولیه: ۱۳۹۷/۰۳/۱۵، تاریخ دریافت نسخه اصلاح شده: ۱۳۹۸/۰۲/۱۷، تاریخ پذیرش قطعی: ۱۳۹۸/۰۴/۰۲

**چکیده** تصفیه انواع پساب‌های صنعتی و بازگردانی آب به چرخه مصرف از اهمیت زیادی برخوردار است. در این پژوهش با تولید نانوجاذب کامپوزیتی نایلون ۶/ نانوذرات زیرکونیا شرایط برای جداسازی کاتیون فلزات سنگین (مانند Cu, Ni و Co) به عنوان یکی از آلاینده‌های مهم آب بررسی شده است. نانوجاذب کامپوزیتی با مقادیر مختلف زیرکونیا توسط روش الکترورسی تولید شد. به منظور بررسی ریزساختار و بنیان‌های مولکولی در نانوجاذب کامپوزیتی به ترتیب از آزمون‌های SEM و FTIR استفاده شد. نتایج ریزساختارشناسی نشان داد که با افزایش نسبت سرامیک به پلیمر میانگین قطر الیاف از ۳۸۷ به ۱۰۵ نانومتر و تخلخل سطحی از ۸۳/۱ به ۶۵/۶ درصد کاهش یافت. علاوه بر این، از توزیع همگن نانوذرات روی الیاف کاسته و عیوب الکترورسی مانند آگلومراسیون نانوذرات روی برخی الیاف مشاهده شد. افزودن نانوذرات زیرکونیا بنیان‌های مولکولی نایلون ۶ را تغییر نداد. با توجه به توزیع و ایجاد مواضع فیزیکی همگن توسط نانوذرات زیرکونیا، نسبت سرامیک به پلیمر برابر ۰/۸۸ (g/g) به عنوان ترکیب بهینه انتخاب شد. تغییرات زاویه تماس آب روی سطح نانوجاذب نشان داد که سطح مورد مطالعه در لحظه ابتدایی تماس آب‌گریز و در ادامه آبدوست است. بررسی سینتیک جذب کاتیون فلزات سنگین از نانوجاذب نشان داد که از مدل شبه درجه اول تعیت می‌کند. بیشینه مقدار جذب کاتیون فلزات Cu, Ni و Co به ترتیب برابر ۹/۶، ۸/۷ و ۴/۸ میلی‌گرم بر سانتی-متر مریع بود که بینگر بهره‌وری بالای نانوجاذب کامپوزیتی نایلون ۶/ زیرکونیا در جذب کاتیون‌های فلزات سنگین است. بنابراین با توسعه انواع مختلف نانوجاذب پلیمر- سرامیک امکان بازچرخانی پساب صنعتی فراهم می‌شود.

**کلمات کلیدی:** ریزساختار؛ سینتیک جذب؛ کاتیون فلزات سنگین؛ نانوذرات زیرکونیا؛ نانو الیاف.

## Kinetic Study on Surface Adsorption of Heavy Metal Cations by Nylon6/Zirconia Nano-absorbent

Ali Mosayebi<sup>1</sup>, Hamid Esfahani<sup>\*1</sup>, Fatemeh Dabir<sup>2</sup>

<sup>1</sup>Department of materials Engineering, faculty of Technical and engineering , Bu-Ali Sina University, Hamedan, Iran.

<sup>2</sup> Non-metallic materials department, Niroo Research Institute (NRI), Tehran, Iran.

**Abstract** Industrial wastewater treatment and recycling the treated water are drawn to attention. In this study, the removal of heavy metal cations (e.g. Cu, Ni, Co) as an important pollutants, has been investigated by applying the Nylon6/zirconia nano-composite absorbent. Nano-composite membranes containing different amount of zirconia nano-particles (NPs) were synthesized via electrospinning method. To study the microstructure and functional molecule groups of nano-absorbent, SEM and FTIR techniques were used, respectively. The results showed that the average diameter size of fibers and surface porosity decreased from 387 to 105 nm and 83.1 to 65.6 % with increasing the zirconia content, respectively. Furthermore, zirconia NPs were distributed heterogeneously and also electrospinning defects such as zirconia agglomerates were observed in the mat. Adding the zirconia NPs did not affect the functional molecule groups of Nylon6. According to the homogenous distribution and also creation of active sites by zirconia NPs, the ratio of zirconia to Nylon6 equals to 0.88 (g/g) was selected as the optimized composition. Water contact angle variations on the surface of nano-absorbent indicated that the mentioned surface had hydrophobic behavior at the beginning time of contact and then it switched to the hydrophilic manner. Kinetic study on the adsorption of heavy metal cations showed that it was followed by first-pseudo order model. The maximum adsorption was recorded 9.6, 8.7 and 4.8 mg/cm<sup>2</sup> respect to the Cu, Ni, and Co cations. It suggests that the Nylon6/zirconia nano-composite has high efficiency to adsorb heavy metal pollutants. Eventually, the water recycling will be achieved by development of polymer-ceramic nano-composite.

**Keywords:** Adsorption kinetic; Heavy metals cations; Microstructure; Nano-fibers; Zirconia nano-particles.

\* عهده دار مکاتبات

نشانی: همدان، دانشگاه بوعالی سینا، تلفن: ۰۳۸۳۸۱۶۰۱-۰۸۱، پیام نگار: h.esfahani@basu.ac.ir

## ۱- مقدمه

به کمک این روش امکان تولید نانوالیاف و غشا کامپوزیتی (پلی‌آمید<sup>۶</sup>; نایلون<sup>۶</sup>) در اندازه‌ها و تراکم‌های مختلف امکان‌پذیر است [۱۵-۱۳]. در نانوجاذب‌های الیافی به دلیل ایجاد سطح به حجم زیاد، امکان قرارگیری نانوذرات برای ایجاد محل‌های مناسب جذب آلاینده‌ها نظیر کاتیون فلزات سنگین فراهم می‌شود. نانوذرات سرامیکی در مقایسه با نانوذرات فلزی از پایداری بیشتر در طبیعت، مقاومت به خوردگی عالی و زیست‌سازگاری بهتر با اکوسیستم برخوردار هستند [۱۸-۱۶]. از انواع مختلف نانوذرات سرامیک اکسیدی مانند  $TiO_2$ ,  $ZnO$ ,  $Al_2O_3$  و  $SiO_2$  برای جذب انواع آلاینده‌های فلزات سنگین استفاده شده است [۲۱-۱۹]. اما استفاده از زیرکونیا ( $ZrO_2$ ) در بستر نانوجاذب‌های محصول الکتروریسی کمتر مورد بررسی قرار گرفته است. با بهره‌گیری از نانوذرات زیرکونیا نسبت سطح به حجم بیشتری در نانوجاذب ایجاد خواهد شد که محل‌های مناسبی برای جذب فیزیکی آلاینده‌ها خواهند بود. باز الکتریکی شارژ شده در سطح نانوذرات سرامیکی در pHهای مختلف تغییر می‌کند. به‌طور کلی با کاهش pH جذب پروتون و با افزایش pH دفع پروتون از سطح نانوذرات رخ می‌دهد [۲۲]. با توجه به اندازه ذرات و الوتروبی فاز ذرات، رفتار تغییر بار سطحی یکسان نیست. ایجاد اختلاف نیروی الکترواستاتیک بین آلاینده و جاذب در بهبود رفتار جذب فیزیکی کمک می‌کند.

فرایند جذب سطحی بر دو گونه فیزیکی و شیمیایی انجام می‌شود [۲۱]. جذب فیزیکی متاثر از نیروهای فیزیکی مانند نیروهای الکترواستاتیکی، بین سطح جاذب و جذب-شونده رخ می‌دهد و در جذب شیمیایی علاوه بر نیروهای جاذبه، ایجاد پیوند شیمیایی جدید عامل جذب آلاینده است. قدرت اتصال آلاینده به جاذب در جذب فیزیکی نسبت به جذب شیمیایی کمتر است، اما از طرف دیگر در جذب شیمیایی، نیاز به ایجاد میل شیمیایی<sup>۱</sup> بین جاذب و جذب‌شونده ضرورت دارد [۲۳]. اگرچه جذب فیزیکی به‌طور گستردگی برای جذب انواع آلاینده‌های آلی و غیرآلی استفاده می‌شود، اما در سال‌های اخیر تلاش‌های زیادی برای بهبود رفتار جذب فیزیکی انجام شده است. استفاده از محصولات الکتروریسی به

پساب‌های صنعتی حاوی انواع اجزاء سمی مانند سیانیدها، آلکالین‌ها، عوامل شستشو، حلال‌سازها، نفت، انواع مواد آلی و فلزات سنگین هستند [۱]. آلوده شدن منابع آب توسط یون‌های فلزات سنگین مانند Cr, Cd, Fe, Co, Ni, Cu و  $TiO_2$  یکی از مشکلات مهم زیست‌محیطی در سطح جهان کنونی است. برخی از فلزات سنگین برای حفظ متابولیسم انسان ضروری هستند. با این حال، در غلظت‌های بالاتر آن‌ها می‌توانند منجر به مسمومیت شوند [۲]. در حال حاضر، روش‌های مختلفی برای حذف یون‌های فلزات سنگین از آب آلوده، گسترش پیدا کرده‌اند، از جمله می‌توان به اکسیداسیون شیمیایی، رسوب الکتروشیمیایی، تبادل یونی، اسمز معکوس، سیستم‌های بیولوژیک، جداسازی غشایی و نانوجاذب‌ها اشاره کرد [۱۰-۳]. در میان روش‌های ذکر شده، به‌طور کلی روش جذب توسط جاذب‌ها به دلیل در دسترس بودن، بازدهی بالا، سهولت کار، تکرارپذیری و هزینه بهره‌برداری کم برای جداسازی یون‌های فلزات سنگین از منابع آب ترجیح داده شده است [۴].

روش‌های جداسازی بر پایه خواص فیزیکی و شیمیایی ماده جداکننده انجام می‌شود [۵]. غشا یک نوع رایج جداساز است که در حوزه‌های وسیعی از علوم آزمایشگاهی، مهندسی، نظامی، الکتریکی و محیط زیستی جهت جداسازی اجزای سازنده و یا اضافی از بستر ماده اولیه استفاده می‌شود [۶-۹]. در سال‌های اخیر تلاش‌های زیادی برای بهبود ساختار و عملکرد غشاها به خصوص در حوزه تصفیه پساب و بازگردانی آب به اکوسیستم انجام شده است [۱۱و۱۰]. فرایند جذب انتخابی آلاینده‌های موجود در پساب صنعتی تابعی از ویژگی‌های غشا است. نخستین روش در بهبود رفتار جذب این آلاینده‌ها، اصلاح ساختار سطح غشا است.

امروزه با پیشرفت فناوری نانو در زمینه‌های مختلف و اهمیت بالای آن‌ها، نانوالیاف بسیار مورد توجه قرار گرفته‌اند. از میان روش‌های مختلف تولید نانوالیاف همچون خودآرایی، طراحی، ستز قالب و جدایش فازی، روش الکتروریسی به دلیل سهولت فرایند، امکان کنترل ابعاد الیاف، امکان صنعتی شدن و تکرارپذیری نسبت به سایر روش‌ها برتری دارد [۱۲].

<sup>۱</sup> Affinity

برای تهیه محلول الکتروریسمی، ابتدا نانوذرات زیرکونیا به اسید فرمیک اضافه شد. به منظور توزیع همگن نانوذرات زیرکونیا محلول اولیه به مدت ۲۴ ساعت روی همزن مغناطیسی و سپس ۲۰ دقیقه در حمام آلتراسونیک هم زده شد. سپس گرانولهای نایلون ۶ به محلول طبق مقادیر ارائه شده در جدول ۱ اضافه شد و به مدت ۲۴ ساعت تحت دمای اتاق هم-زده شد. در ادامه، محلول کامپوزیتی پلیمر-سرامیک تهیه شده به داخل سرنگ منتقل شد و تحت فرایند الکتروریسمی قرار گرفت. به منظور سنتز نانوالیاف کامپوزیتی فاصله نوک سوزن ۰/۲ میلی لیتر بر ساعت و ولتاژ اعمالی برابر ۲۰ کیلوولت تنظیم شد. طرح واره فرایند الکتروریسمی و تنظیمات دستگاهی در شکل ۱ نشان داده شده است. بعد از خشک شدن نانوجاذب نایلون ۶-زیرکونیا در خشک کن در دمای ۸۰ درجه سانتی گراد به مدت ۱۰ ساعت، نمونه های آزمون آماده شدند. به منظور بررسی FEI ریزساختار نمونه از میکروسکوپ الکترونی روبشی (مدل ESEM Quanta 200 ImageJ) استفاده شد. از نرم افزار FTIR (Bruker) موجود در نانوجاذب از آزمون طیف سنجی Alpha (Model) استفاده شد. مقدار پتانسیل زتا نانوذرات زیرکونیا در محلول اسیدی (pH برابر سه) به کمک دستگاه مدل Zeta sizer 3000 HAS Malvern UK (Merck) میان ۱۰ ثانیه تماس آب روی نانوجاذب بهینه در مدت زمان ۱۰ ثانیه ابتدایی تماس اندازه گیری شد. به منظور اطمینان از صحت نتایج، آزمون سه بار تکرار شد.

بررسی آزمون جذب سطحی در ظرف درسته در دمای اتاق به صورت استاتیک انجام شد. برای این منظور، ابتدا نانوجاذب بهینه به ابعاد  $1 \times 1$  سانتی متر مریع بریده شدند و سپس در پساب ساخته شده برای مدت زمان مشخص غوطه ور شدند. به منظور تولید پساب کاتیون فلزات Cu، Ni و Co با غلظت  $5 \text{ mg/L}$  به طور جداگانه نمک های  $\text{Cu}(\text{NO}_3)_2 \cdot 3\text{H}_2\text{O}$  (Merck, 106721)،  $\text{Ni}(\text{NO}_3)_2 \cdot 6\text{H}_2\text{O}$  (Merck, 102753) و  $\text{Cd}(\text{NO}_3)_2 \cdot 6\text{H}_2\text{O}$  (Merck 102027) در آب دی یونیزه حل شدند. فرایند جذب در چهار ساعت تماس مورد بررسی قرار گرفت. برای این منظور تغییرات غلظت کاتیون فلزات Cu، Ni

دلیل نسبت سطح به حجم زیاد یکی از تلاش های اخیر پژوهشگران حوزه فناوری نانو است. اصلاح سطح نانوجاذب الکتروریسمی شده بر رفتار جذب فیزیکی و حتی شیمیابی آلاینده ها اثرگذار است. یکی از راهکارهای موثر افروden فاز ثانویه به سطح غشا برای ایجاد مواضع فیزیکی فعال بیشتر در سطح است.

اگرچه مطالعات فراوانی در خصوص جذب فلزات سنگین به کمک نانوجاذب های سرامیکی شده است [۲۴]، اما مطالعات اندکی در خصوص نانوجاذب کامپوزیت پلیمر-سرامیک وجود دارد. از این رو در این مطالعه، از میان انواع روش های ساخت نانو کامپوزیت، روش الکتروریسمی انتخاب شد. ابتدا به بررسی اثر غلظت محلول الکتروریسمی (نسبت نانوذرات زیرکونیا به نایلون ۶) بر ریزساختار و ترکیب نانوجاذب تولیدی پرداخته شده است. پس از بهینه سازی ریزساختار و اطمینان از توزیع مناسب نانوذرات زیرکونیا در میان ساختار نانوجاذب کامپوزیت، سیستیک فرایند جذب سطحی کاتیون فلزات Cu، Ni و Co در مدت زمان چهار ساعت تماس بررسی شده است [۲۰ و ۱۹].

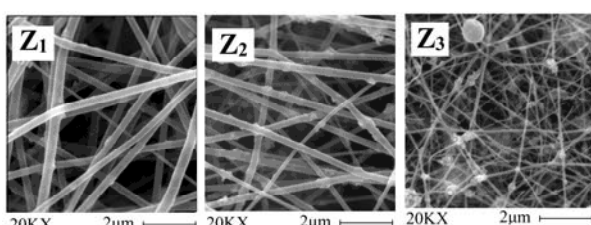
## ۲- روش تحقیق

برای ساخت نانوجاذب کامپوزیتی از اسید فرمیک (Merck 111670)، نانوذرات مونوکلینیک زیرکونیا ( $\text{ZrO}_2$ ) و گرانول نایلون ۶ (Plasma Chem  $\text{ZrO}_2$ ) (UBE, 1015b) به ترتیب به عنوان حلال، جاذب سرامیکی و زمینه اصلی نانوالیاف استفاده شد. نسبت اجزاء تشکیل دهنده محلول الکتروریسمی به گونه ای تغییر پیدا کرد که نسبت زیرکونیا به نایلون ۶ مقدار متفاوت مطابق جدول ۱ داشته باشد.

جدول ۱. مواد و نسبت های استفاده شده در محلول های مختلف الکتروریسمی نانوجاذب نایلون ۶ / زیرکونیا.

نسبت Z/P	مقدار اسید فرمیک (mL)	مقدار PA6 (g)	مقدار $\text{ZrO}_2$ (g)	کد نمونه
۰,۲۶	۵	۱,۵	۰,۳۹	Z <sub>1</sub>
۰,۸۸	۵	۱,۵	۱,۳۲	Z <sub>2</sub>
۱,۶۶	۷	۱,۵	۲,۴۹	Z <sub>3</sub>

نشان داده شده است. نتایج نشان می‌دهد که نانوالیاف کشیده حاوی نانوذرات زیرکونیا در هر سه نمونه تشکیل شده است. با مقایسه تصاویر بهوضوح مشخص شد که با افزایش مقدار زیرکونیا، محلهای سرامیکی در سطح و عمق نانوجاذب کامپوزیتی افزایش یافته است. همچنانی به روشنی مشاهده می‌شود که با افزایش نسبت زیرکونیا به نایلون ۶، قطر الیاف کاسته شده است. علاوه بر این با افزایش نسبت زیرکونیا به نایلون ۶، اما از توزیع همگن نانوذرات متصل به نانوالیاف کاسته شده، این بر تعداد موقعیت‌های تجمع نانوذرات افزوده شده است. این رفتار به علت افزایش ویسکوزیتی محلول الکتروریسی نمونه  $Z_3$  صورت گرفته است. چرا که با افزایش ویسکوزیتی، ضمن آینکه نیروی لازم برای تشکیل اولین جت الیاف کاسته می‌شود، آگلومره شدن نانوذرات زیرکونیا نیز رخ می‌دهد [۲۶]. قابل توجه است که با افزایش میزان نانوذرات سرامیکی، قطر الیاف به طور چشمگیری کاهش یافته است. این‌گونه رفتار که در محلول‌های هیبرید پلیمر- سرامیک به وفور دیده می‌شود، را می‌توان به اثر بار الکتریکی شارژ شده در سطح نانوذرات که کمک به کشیده شدن الیاف می‌نمایند، مربوط دانست [۱۰ و ۱۲]. شایان توجه است که در ریزساختار نمونه  $Z_3$  برخلاف دو نمونه دیگر، عیوب الکتروریسی مانند مهره‌ها، تجمع آگلومره‌های ذرات سرامیکی و نانوالیاف منقطع دیده می‌شود. پس می‌توان گفت که نامناسب بودن ترکیب محلول هیبریدی  $Z_3$  منجر به تولید نانوجاذب با سطح غیرهمگن می‌شود، در حالی که در نمونه‌های  $Z_1$  و  $Z_2$  الیاف کشیده، عاری از عیوب دیده می‌شود. با توجه به تصویر SEM از نمونه  $Z_1$  نانوذرات زیرکونیا در درون الیاف نایلون ۶ قرار گرفته‌اند، اما در نمونه  $Z_2$  نه تنها در درون الیاف بلکه در سطح الیاف نیز جا گرفته‌اند که محلهای مناسب برای جذب فیزیکی آلاینده فراهم می‌سازند.

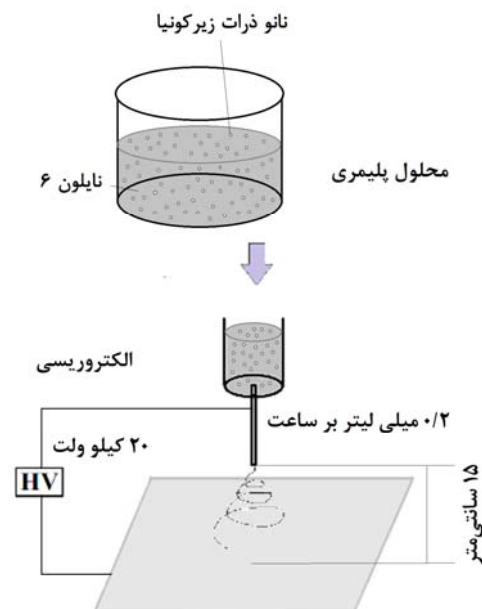


شکل ۲. تصاویر SEM از نانوجاذب نایلون ۶/ نانوذرات زیرکونیا در غلاظت‌های متفاوت.

UV-VIS و Co به کمک روش بیر [۲۵] و به کمک طیفسنج (Model Cary, 100 Cone) اندازه‌گیری شد. مقدار کاتیون جذب شده در واحد سطح نانوجاذب ( $Q_i$ ) در زمان مدنظر به کمک رابطه ۱ محاسبه شد [۱۲]. به منظور اطمینان از صحبت نتایج هر فرایند جذب سه بار تکرار شد و میانگین آن‌ها به عنوان نتیجه گزارش شد.

$$Q_i = \frac{(C_i - C_t)V}{A} \quad (1)$$

در جایی که  $C_i$  و  $C_t$  به ترتیب غلاظت کاتیون فلزات Cu، Ni و Co در ابتدا و زمان مدنظر آزمایش است. مقادیر V و A به ترتیب حجم محلول غوطه‌وری و سطح موثر جاذب هستند. پس از اتمام فرایند جذب سطح نانوجاذب به کمک میکروسکوپ الکترونی روشی میدان نشری (FESEM) مدل T-Scan (مجهر به طیفسنج EDS) به منظور بررسی ریزساختار و توزیع اتمهای Cu، Ni و Co مطالعه شد.



شکل ۱. طرح‌واره فرایند تولید نانوجاذب نایلون ۶/ زیرکونیا و مشخصات دستگاهی.

### ۳- نتایج و بحث

به منظور بررسی اثر تغییر نسبت نانوذرات زیرکونیا به زمینه پلیمری نایلون ۶، بر ریزساختار نانوجاذب کامپوزیتی، تصویربرداری از سطح نمونه انجام شد. تصاویر SEM از غشای کامپوزیتی تولید شده به روش الکتروریسی در شکل ۲

(٪/۷۲,۸) و عاری از عیوب ساختاری به عنوان نانو جاذب بهینه برای جذب پساب‌های صنعتی انتخاب کرد.

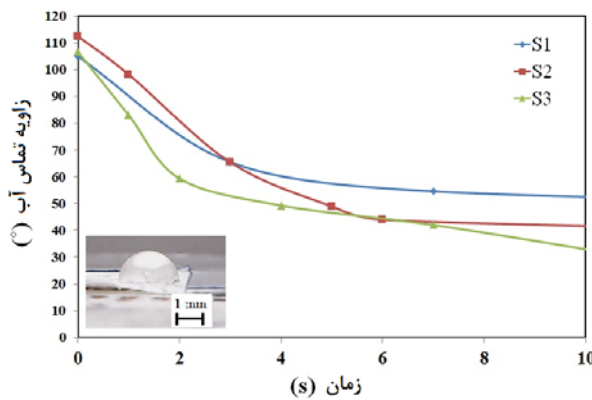
**جدول ۲.** مشخصات فیزیکی نانو جاذب نایلون ۶/ زیرکونیا در غلظت‌های متفاوت.

تخلخل سطحی (%)	میانگین قطر الیاف (nm)	کد نمونه
۸۳,۱	۳۸۷	Z <sub>1</sub>
۷۲,۸	۲۶۴	Z <sub>2</sub>
۶۵,۶	۱۰۵	Z <sub>3</sub>

طیف FTIR از نمونه‌های نانو کامپوزیتی Z<sub>1</sub> و Z<sub>3</sub> به - منظور مقایسه در تغییرات ایجاد شده در بینان‌های مولکولی و گروه‌های شیمیایی تهیه شدند (شکل ۳). نایلون ۶ دارای دو پیوند کربوکسیل و آمیدی در ساختار مونومر خود است. بر این اساس، باند مربوط به پیوند دوگانه C=O در عدد موج cm<sup>-1</sup>, پیوند N-H در ۳۳۰۰ cm<sup>-1</sup>, پیوند C-H در محدوده ۱۶۶۰-۱۳۵۰ و ۱۳۱۰-۱۳۵۰ در طیف FTIR هر سه نمونه شناسایی شدند [۲۸]. مشاهده پیک‌های مشخصه آب و OH افرون بر باندهای مشخصه نایلون ۶ به دلیل عدم تبخیر کامل حلال اسید فرمیک است. اسید فرمیک دارای مقداری آب است. در طیف فروسرخ هر سه نمونه کامپوزیتی، باندهای مربوطه به Zr-O که متعلق به نانو ذرات زیرکونیا است مشاهده شد. پیک‌های رسم شده در محدوده ۴۶۹-۶۹۰ cm<sup>-1</sup> مربوط به ذرات زیرکونیا با ساختار بلوری مونوکلینیک است. قابل توجه است که طیف FTIR نانو ذرات زیرکونیا با ساختار بلوری تتراگونال در ۵۴۲ cm<sup>-1</sup> و ۶۲۷ cm<sup>-1</sup> دارای پیک مشخصه هستند [۲۹]. در این پژوهش از نانو ذرات زیرکونیای مونوکلینیک بدون ثبت‌کننده استفاده شده است. علاوه بر این نتایج نشان می‌دهد که با اضافه کردن نانو ذرات زیرکونیا گروه شیمیایی جدیدی ایجاد نشده است و این به معنی عدم واکنش نانو ذرات زیرکونیا با زمینه الیاف نایلون ۶ است. بنابراین می-توان نتیجه گرفت که کامپوزیت‌سازی به خوبی انجام شده است و نانو ذرات زیرکونیا در غشای سنتز شده حضور دارند.

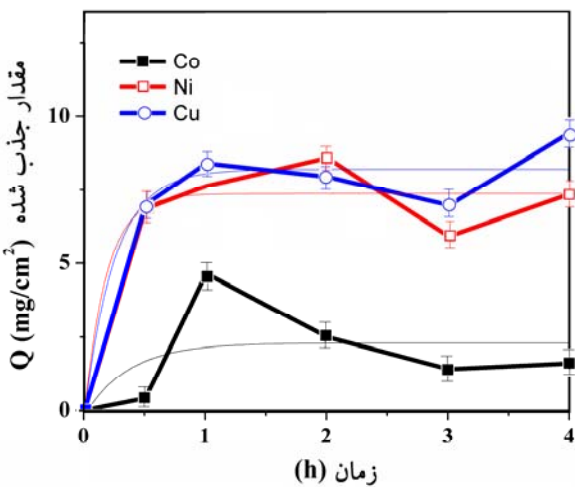
یکی از عوامل مهم در فرایند جداش و فیلتراسیون، حضور مکان‌های مناسب در سطح جاذب است. با تولید نانو- جاذب به دلیل افزایش نسبت سطح به حجم امکان اضافه کردن نانو ذرات روی نانوالیاف فراهم می‌شود. نتایج این پژوهش به خوبی نشان می‌دهد که نه تنها نانو ذرات زیرکونیا روی نانو- الیاف قرار گرفته‌اند بلکه با توزیع مناسب درون الیاف و حتی ایجاد مواضع متصل به الیاف، شرایط مناسبی را برای جداش کاتیون‌های فلزات سنگین از پساب‌های صنعتی فراهم خواهند کرد. بررسی اندازه‌گیری پتانسیل زتا نانو ذرات زیرکونیا مقدار -۷ mV در پساب اسیدی (pH=3) را نشان داد. بنابراین اختلاف بار الکتریکی بین زیرکونیا و کاتیون‌های فلزات عامل موثر بر جداش آلاینده از پساب به نانو جاذب خواهد شد.

یکی دیگر از مشخصات مهم نانو جاذب، قطر الیاف و به تبع آن تخلخل سطحی است. در نانو کامپوزیت‌های بر پایه نانوالیاف، ترکیب محلول الکتروریسی بیشتر از عوامل دستگاهی و محیطی بر مشخصات محصول نهایی اثرگذار است. میانگین قطر الیاف در هر سه نمونه اندازه‌گیری شد و نتایج آن در جدول ۲ ارائه شده است. نتایج حاصل از اندازه-گیری قطر الیاف نشان داد که با افزایش حدود شش برابر نسبت Z/P میانگین قطر الیاف تقریباً چهار برابر کاهش می‌یابد. اما همان‌طور که پیش‌تر نیز اشاره شد، عیوب الکتروریسی و به خصوص توزیع غیرهمگن نانو ذرات زیرکونیا هم مشاهده شد که اثرات کاهنده بر رفتار جذب سطحی کاتیون فلزات سنگین خواهد داشت. علاوه بر کاهش اندازه قطر الیاف، درصد تخلخل سطحی نیز کاهش یافت. نتایج نشان می‌دهد که با کاهش اندازه قطر الیاف، ریزساختار ظرفیت‌تری ایجاد شده است که موجب به‌جا ماندن تخلخل‌های کوچک‌تر در سطح نانو جاذب شده است. اگرچه مقدار زیاد تخلخل سطحی در نمونه Z<sub>3</sub> بیانگر یک نانو جاذب با سطح ویژه زیاد است، اما این مقدار در مقایسه با دو غشا Z<sub>1</sub> و Z<sub>2</sub> منجر به تغییر رفتار نانو جاذب در فرایند جذب فیزیکی آلاینده‌ها خواهد شد. چرا که حضور تخلخل در سطح، عاملی برای نفوذ آب / پساب به درون غشا و بهره‌گیری از ظرفیت‌های درونی غشا است [۲۷]. با توجه به تصاویر ریزساختار نمونه‌ها می‌توان نمونه Z<sub>2</sub> را به دلیل توزیع مناسب نانو ذرات زیرکونیا، تخلخل سطحی زیاد

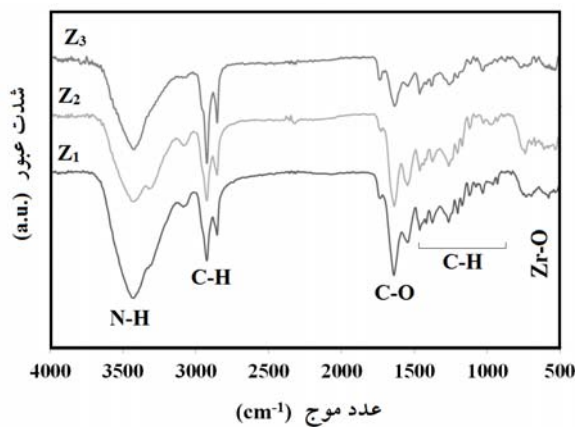


شکل ۴. تغییرات زاویه تماس آب (WCA) روی سطح نانوجاذب بهینه (Z<sub>2</sub>).

همان طور که اشاره شد فرایند جذب سطحی بر دو گونه فیزیکی و شیمیایی انجام می‌شود. اگرچه جذب فیزیکی به طور گستردگی برای جذب انواع آلاینده‌های آلی و غیرآلی استفاده می‌شود، اما در سال‌های اخیر تلاش‌های زیادی از طریق اصلاح سطح جاذب برای بهبود رفتار جذب فیزیکی انجام شده است. از این‌رو در این مقاله به بررسی اثر افزودن نانوذرات زیرکونیا به سطح نانوایاف نایلون ۶ پرداخته شده است. مقدار کاتیون فلزات Cu, Ni و Co جذب شده در واحد سطح نانوجاذب کامپوزیتی طی مدت چهار ساعت غوطه‌وری در پساب مطابق رابطه ۱ محاسبه و در شکل ۵ رسم شده است. نتایج آزمایشگاهی با خطوط پرنگ و نتایج برازش با خطوط کم رنگ رسم شده‌اند. نتایج نشان می‌دهد که حضور نانوذرات زیرکونیا با بار الکتریکی منفی منجر به جذب آلاینده‌ها با بار مثبت مانند کاتیون‌های فلزات Cu, Ni و Co شده است.



شکل ۵. مقدار کاتیون فلزات سنگین (Cu, Ni, Co) جذب شده در واحد سطح نانوجاذب نایلون ۶/ زیرکونیا.



شکل ۶. طیف FTIR از نانوجاذب نایلون ۶/ زیرکونیا در غلظت‌های متفاوت.

رفتار ترشوندگی سطح جاذب نقش مهمی در رفتار جذب انواع آلاینده دارد. در مجاورت سطح آب گریز، آلاینده قادر به آرایش‌گیری و نزدیک شدن به سطح است [۳۰]. پلیمر نایلون ۶ و سرامیک زیرکونیا به ترتیب رفتار آب گریز و آب-دوس است دارند که به ماهیت پیوندهای شیمیایی آنها باز می‌گردد. یکی از راه‌های شناسایی رفتار آب گریزی سطوح، بررسی تغییرات زاویه تماس آب (WCA) است. تغییرات WCA روی سطح نمونه Z<sub>2</sub> در بازه زمانی ۱۰ ثانیه ابتدایی تماس در شکل ۴ رسم شده است. برای اطمینان از دقیق نتیجه، آزمون سه بار تکرار شده است. تغییرات دینامیکی WCA نشان می‌دهد که سطح نانوجاذب کامپوزیتی نایلون ۶/ زیرکونیا ابتدا آب گریز (θ>90°) و سپس با مرور زمان آب دوس است می‌شود. نتایج نشان می‌دهد که کاهش WCA در سه ثانیه ابتدایی سریع و در ادامه با روند کندری کاهش می‌یابد. به نظر می‌رسد مواجه شدن قطره آب با الیاف نایلون ۶ علت آب گریزی مناسب غشا است، اما پس از زمانی، نانوذرات زیرکونیا در سطح الیاف عامل کشیدگی قطره آب و آب دوستی نانوجاذب می‌شود. میانگین WCA پس از ۱۰ ثانیه از تماس برابر ۵۶,۶° است. علاوه بر عامل‌های شیمیایی که منجر به کاهش WCA می‌شوند، بایستی به زیری سطح نیز اشاره نمود. با افزودن نانوذرات زیرکونیا، همان‌طور که در تصویر SEM نیز مشاهده شد، زیری الیاف و به تبع آن زیری سطح نانوجاذب افزایش یافت. با افزایش زیری سطح رفتار آب گریزی کاهش می‌یابد [۳۰].

( $\text{cm}^2 \cdot \text{g}^{-1} \cdot \text{h}^{-1}$ ) به ترتیب ثابت نرخ جذب در مدل درجه اول و دوم هستند. بررسی اولیه ضریب همبستگی ( $R^2$ ) برای برازش مدل شبه درجه دوم بر نتایج آزمایشگاهی حاکی از مقادیر کمتر از ۰/۱ بود. پس نمی‌توان مدل شبه درجه دوم را معرف رفتار سیستیک جذب  $\text{Cu}$ ,  $\text{Ni}$  و  $\text{Co}$  توسط نانوجاذب نایلون ۱۶ زیرکونیا دانست. اطلاعات استخراج شده از برازش مدل سیستیکی بر مدل شبه درجه اول در جدول ۳ ارائه شده است. نتایج نشان می‌دهد که مقدار جذب شده تعادلی به ترتیب برای  $\text{Ni}$ ,  $\text{Cu}$  و  $\text{Co}$  کاهش می‌یابد. مقدار ضریب همبستگی ( $R^2$ ) نشان می‌دهد که تطابق برازش با اطلاعات تجربی به ترتیب برای جذب  $\text{Cu}$ ,  $\text{Ni}$  و  $\text{Co}$  کاهش می‌یابد. مقدار  $R^2$  بیشتر از ۰/۸۷ برای کاتیون‌های  $\text{Cu}$  و  $\text{Ni}$  بیانگر واجذب کم آنها است چرا که مدل سیستیکی تنها جذب را بررسی می‌کند. اما مقدار کم این پارامتر برای کاتیون  $\text{Co}$  به دلیل واجذب شدید طی یک ساعت دوم فرایند است. با محاسبه ثابت  $k_1$  می‌توان به درک خوبی از زمان رسیدن به تعادل دست یافت. نتایج برازش نشان داد که زمان رسیدن به تعادل در جذب کاتیون فلزات  $\text{Ni}$ ,  $\text{Cu}$  و  $\text{Co}$  به ترتیب حدود ۴، ۵/۵ و ۲/۸ ساعت است. با بررسی مقدار انحراف بین مقدار تعادلی ( $Q_e$ ) تجربی (میانگین مقدار جذب شده در سه ساعت آخر جذب) با مقدار تعادلی که از برازش بدست آمده است، می‌توان نتیجه گرفت که معیار انتخاب تعادل تجربی به خوبی تعیین شده است. از این‌رو می‌توان گفت که نانوجاذب کامپوزیتی نایلون ۱۶/ زیرکونیا در مدت زمان کوتاهتری در جذب  $\text{Co}$  به حالت اشباع می‌رسد. از طرفی می‌توان نتیجه گرفت که غشای مذکور قادر به جذب مقدار بیشتری  $\text{Cu}$  در مدت زمان‌های مشابه است. بر اساس تجرب آزمایشگاهی، بیشینه مقدار جذب شده برای کاتیون فلزات  $\text{Cu}$ ,  $\text{Ni}$  و  $\text{Co}$  به ترتیب برابر ۹/۶، ۸/۷ و ۴/۸ میلی‌گرم بر سانتی‌متر مربع است، که بیانگر بهره‌وری زیاد نانوجاذب کامپوزیتی نایلون ۱۶/ نانوذرات زیرکونیا در جذب کاتیون‌های فلزات سنگین است.

نتایج نشان می‌دهند که تمایل جذب فیزیکی کاتیون  $\text{Ni}$  و  $\text{Cu}$  بر روی سطح نانوجاذب کامپوزیتی نسبت به کاتیون  $\text{Co}$  بیشتر است. علاوه بر این دیده می‌شود که در یک ساعت ابتدایی مقدار جذب سرعت بیشتری دارد و سپس با گذشت زمان نه تنها مقدار جذب افزایش نیافه، بلکه در برخی از زمان‌های فرایند، مقدار جذب کاسته شده است. در زمان‌های ابتدایی فرایند جذب، تعداد موضع فیزیکی (نانوذرات زیرکونیا) کمتری توسط فلزات سنگین اشغال شده‌اند، از این‌رو در زمان‌های ابتدایی سرعت جذب بیشتر بوده و با گذشت زمان و با اشغال شدن موضع فیزیکی، سرعت جذب کاهش یافته است. علاوه بر این در زمان‌های بیشتر، نیروی دافعه بین کاتیون‌های جذب شده و کاتیون‌های باقی‌مانده در پساب ایجاد می‌شود که مانع از جذب بیشتر کاتیون به سطح نانوجاذب می‌شود. کاهش روند جذب فیزیکی در زمان‌های بیشتر از یک ساعت، به دلیل واجذب کاتیون‌های فلزات نیز است [۳۱]. از آنجا که نیروهای قوی در جذب فیزیکی بین جاذب و جذب-شونده برقرار نمی‌شود، احتمال جدا شدن و بازگشت مجدد به محیط پساب وجود دارد که به واجذب موسوم است. با واجذب برخی از کاتیون‌ها شرایط برای جذب کاتیون‌های جدید فراهم می‌شود. از این‌رو همان‌طور که در نمودار تغییرات مقدار جذب کاتیون‌های فلزات  $\text{Cu}$ ,  $\text{Ni}$  و  $\text{Co}$  مشاهده می‌شود، روند جذب در زمان سه ساعت پس از آغاز فرایند مجدد افزایش می‌یابد. این روند تا زمانی ادامه پیدا می‌کند تا تعادل شیمیایی بین کاتیون‌های جذب شده و باقی‌مانده در پساب برقرار شود. میانگین مقدار جذب شده در سه ساعت آخر جذب، به عنوان معیار انتخاب مقدار تعادلی ( $Q_e$ ) انتخاب شد. به منظور بررسی رفتار سیستیکی جذب کاتیون‌های فلزات  $\text{Cu}$ ,  $\text{Ni}$  و  $\text{Co}$  توسط نانوجاذب کامپوزیتی نایلون ۱۶ نانوذرات زیرکونیا، مدل سیستیکی شبه درجه اول (رابطه ۲) و شبه درجه دوم (رابطه ۳) بر اطلاعات آزمایشگاهی برازش شدند [۳۲].

$$Q_e - Q_e \exp(-k_1 t) = Q_t \quad (2)$$

$$\frac{t}{Q_t} = \frac{1}{k_2 Q_e^2} + \frac{t}{Q_e} \quad (3)$$

در جایی که  $Q_e$  ( $\text{mg/cm}^2$ ) مقدار جذب شده کاتیون فلزات سنگین در لحظه تعادل در واحد سطح و  $k_1$  ( $\text{h}^{-1}$ ) و  $k_2$

جذب کاتیون فلزات Cu، Ni و Co روی نانوجاذب نایلون ۶ زیرکونیا به ترتیب برابر ۱۰۷۰، ۹۷۰ و ۵۴۰ mg/g محاسبه می‌شود. یاری و همکاران [۲۰] جذب Cu و Pb را به کمک جاذب نانوالیافی CeO<sub>2</sub> بررسی کرده‌اند و آنها یافتنند که مقدار جذب حدود ۲۶۰ mg/g بود. جبرو و همکاران [۱۹] به‌طور مشابه جذب Cu و Pb به کمک جاذب نانوالیافی استات سلوزل TiO<sub>2</sub> را بررسی کرده‌اند. آنها بیشینه جذب را برابر ۲۳ تا ۲۵ mg/g ارزیابی کردند. علیپور و همکاران [۲۱] رفتار جذب توریم (Th) و سایر کاتیون‌های فلزات سنگین را بررسی کرده‌اند و یافتنند که بیشینه مقدار جذب کاتیون‌های مذکور حدود ۱۰۰ mg/g است. بنابراین با مقایسه با کارهای مشابه مشخص می‌شود که نانوجاذب نایلون ۶ زیرکونیا به دلیل برخورداری از مواضع با بار الکتریکی مخالف کاتیون جایگاه ویژه‌ای در فرایند تصفیه پساب‌های صنعتی خواهد داشت.

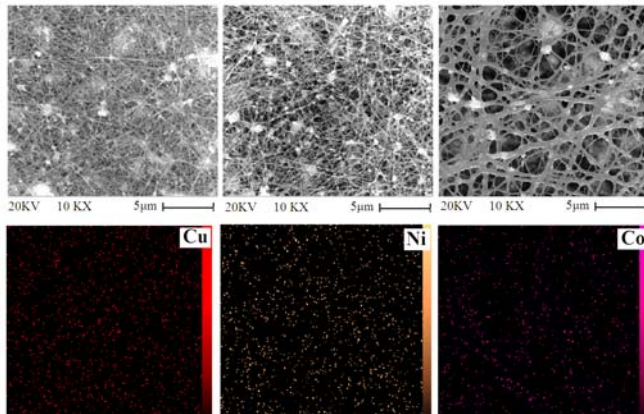
#### ۴- نتیجه‌گیری

در این مقاله نانوجاذب کامپوزیتی نایلون ۶ حاوی نانوذرات سرامیکی زیرکونیا به روش الکتروریسی تولید شد. بررسی نتایج ریزساختارشناسی نشان داد که افزایش نسبت زیرکونیا به نایلون ۶ (۰,۲۶، ۰,۸۸ و ۱,۶۶ g/g) منجر به کاهش قطر الیاف از ۳۸۷ به ۱۰۵ نانومتر و تخلخل سطحی از ۸۳,۱ به ۶۵,۶ درصد می‌شود. بررسی بینانهای مولکولی در نانوجاذب کامپوزیتی حضور نانوذرات زیرکونیا را ثابت کرد و نشان داد که اضافه کردن نانوذرات سرامیکی گروه‌های مولکولی زمینه نایلون ۶ را تغییر نمی‌دهد. بر اساس مطالعات ریزساختارشناسی نمونه با نسبت زیرکونیا به نایلون ۶ برابر ۰,۸۸، به عنوان نمونه بهینه انتخاب شد چراکه نانوذرات زیرکونیا به خوبی در داخل الیاف پیوسته و مستقیم نایلون ۶ توزیع و همچنین به سطح الیاف متصل شده‌اند. این آرایش بیشترین سطح فعال فیزیکی در سطح ایجاد نمود. تغییرات WCA روی سطح نانوجاذب بهینه نشان داد که سطح مورد مطالعه در لحظه اولیه تماس آب‌گریز و در ادامه آب‌دوست می‌شود. مطالعات رفتار جذب طی چهار ساعت غوطه‌وری نشان داد که فرایند جذب کاتیون فلزات سنگین در ابتدا با سرعت زیاد و سپس با سرعت کمتر پیش می‌رود. واجذب کاتیون‌ها از سطح طی زمان

جدول ۳. نتایج برآشش مدل سیتیکی و اطلاعات تجربی جذب فیزیکی کاتیون فلزات Cu، Ni و Co بر روی نانوجاذب نایلون ۶ زیرکونیا.

انحراف	نتایج آزمایشگاهی					کاتیون فلزات
	Q <sub>max</sub>	Q <sub>e</sub>	R <sup>2</sup>	k <sub>1</sub>	Q <sub>e</sub>	
%	mg/cm <sup>2</sup>	mg/cm <sup>2</sup>	-	h <sup>-1</sup>	mg/cm <sup>2</sup>	
۰,۳۳	۹,۴	۸,۱۸	۰,۹۰۶	۳,۹۹	۸,۲۰۷۱	Cu
۰,۱۴	۸,۶	۷,۳۷	۰,۸۷۱	۵,۴۷	۷,۳۶۹۲	Ni
۳,۲۵	۴,۶	۲,۵۴	۰,۱۰۳	۲,۷۴	۲,۴۶۹۱	Co

تصاویر FESEM پس از جذب کاتیون فلزات Cu، Ni و Co در چهار ساعت غوطه‌وری و متناسب با آن نقشه توزیع اتمی کاتیون فلزات Cu، Ni و Co در شکل ۶ نشان داده شده‌اند. همان‌طور که ملاحظه می‌شود ریزساختار نانوجاذب دست-خوش تغییرات قرار گرفته است. تورم ایجاد شده در نانوالیاف نایلون ۶ به دلیل غوطه‌وری در محیط آبی است. تصاویر توزیع اتمی نشان می‌دهند که کاتیون‌های فلزات Cu، Ni و Co به طور همگن در سطح نانوجاذب جذب شده‌اند.



شکل ۶. تصاویر FESEM از سطح نانوجاذب نایلون ۶ زیرکونیا پس از چهار ساعت جذب سطحی کاتیون فلزات سنگین (Cu، Ni، Co).

نتایج به‌دست آمده در این پژوهش نشان می‌دهند که مدل سیتیکی به کار رفته معتبر است. با مقایسه توانایی جذب انواع کاتیون‌های فلزات سنگین توسط سایر جاذب‌های رایج و نانوجاذب‌های مشابه می‌توان گفت که نانوجاذب نایلون ۶ زیرکونیا از طرفیت بالای جذب فیزیکی سطحی برخوردار است. برای این منظور اگر با توجه به رابطه ۱ مقدار جذب در واحد سطح جاذب به وزن جاذب تبدیل شود (هر سانتی‌متر مربع نانوجاذب فوق برابر ۰,۰۰۹ گرم وزن دارد)، مقدار بیشینه

10. Pravin Bhattacharai, Keshar Bdr. Thapa, Rajesh Bdr. Basnet and Saurav Sharma3 " Electrospinning: How to Produce Nanofibers Using Most Inexpensive Technique? An Insight into the Real Challenges of Electrospinning Such Nanofibers and Its Application Areas "pp:401-405, IJBAR (2014) 05 (09)
11. Seema Agarwal, Joachim H. Wendorff, Andreas Greiner.:Use of electrospinning technique for biomedical applications:polymer.2008.09.014.
12. H. Esfahani, M. P. Prabhakaran, E. Salahi, A. Tayebifard, M. Keyanpour-Rad, M.R. Rahimpour, S. Ramakrishna, Protein adsorption on electrospun zinc doped hydroxyapatite containing nylon 6 membrane: Kinetics and isotherm, Journal of Colloid and Interface Science 443 (2015) 143–152.
13. Haiyan Li, Yachen Xu, He Xua and Jiang Chang, Electrospun membranes: control of the structure and structure related applications in tissue regeneration and drug delivery" (2014), 2, 5492
14. Huan Zhou, Ahmed H. Toumy, Sarit B. Bhaduri., Fabrication of novel PLA/CDHA bionanocomposite fibers for tissue engineering applications via electrospinning, J Mater Sci: Mater Med, 22, (2011),1183–1193.
15. S.G. Gholap, D.A. Musale, S.S. Kulkarni, S.K. Karode, U.K. Kharul, Protein and buffer transport through anionically grafted nylon membranes, J. Membr. Sci. 183 (2001) 89–99.
16. L.D. Tijing, J.S. Choi, S. Lee, S.H. Kim, H.K. Shon, Recent progress of membranedistillation using electrospun nanofibrous membrane, J. Membr. Sci. 453 (2014)435–462
17. M.M.A. Shirazi, A. Kargari, S. Bazgire, M. Tabatabaei, M.J.A. Shirazi, T. Matsuura, A.F. Ismail, Characterization of electrospun polystyrene membrane for treatment of biodiesel's water-washing effluent using atomic force microscopy, Desalination 329 (2013) 1–8.
18. D. Aussawasathien, C. Teerawattananon, A. Vongachariya, Separation of micron to sub-micron particles from water: Electrospun nylon-6 nanofibrous membranes as pre-filters, J. Membr. Sci. 315 (2008) 11–19.
19. Kibrom Alebel Gebru, Chandan Das, Removal of Pb (II) and Cu (II) ions from wastewater using compositeelectrospun cellulose acetate/titanium oxide (TiO<sub>2</sub>) adsorbent, Journal of Water Process Engineering 16 (2017) 1–13.
20. Saeed Yari, Saeed Abbaszadeh, Seyyed Ebrahim Mousavi, Mojtaba Saei Moghaddam, Abdolsamad Zarringhalam Moghaddam, Adsorption of Pb(II) and Cu(II) ions from aqueous solution by an electrospun CeO<sub>2</sub> nanofiber adsorbent functionalized with mercapto groups, Process Safety and Environmental Protection 9 4 (2015) 159–171.
21. Dariush Alipour, Ali Reza Keshtkar, Mohammad Ali Moosavian, Adsorption of thorium(IV) from simulated radioactive solutions using a novel electrospun PVA/TiO<sub>2</sub>/ZnO nanofiber adsorbent functionalized with mercapto groups: Study in single and multi-component systems, Applied Surface Science 366 (2016) 19–29.
22. Dawoud Al Mahrouqi, Jan Vinogradov, Matthew D. Jackson, Zeta potential of artificial and natural calcite in aqueous solution, Advances in Colloid and Interface Science (2016).
23. E. Quiroga, P.M. Centres, N.A. Ochoa, A.J. Ramirez-Pastor, Fractional statistical theory of adsorption applied to protein adsorption J. Colloid Interface Sci. 390 (2013) 183–188.
24. E. Erdem, N. Karapinar, R. Donat, The removal of heavy metal cations by natural zeolites, Journal of Colloid and Interface Science 280 (2004) 309–314.
25. D. A. Skoog, F. J. Holler, T. A. Nieman, Principle of instrumental analysis, 5th edn, Belmont, CA, Thomson Learning (1998).
26. 16. M. Yanilmaz, M. Dirican, X. Zhang, Evaluation of electrospun SiO<sub>2</sub>/nylon 6,6 nanofiber membranes as a thermally-stable separator for lithium-ion batteries, Electrochim. Acta 133 (2014) 501–508.
27. Luo, Y. R., "Comprehensive Handbook of Chemical Bond Energies", CRC Press, Boca Raton, FL, 2007.
28. Md. Shahidul Islama, Jeffrey R. McCutcheonb, Md. Saifur Rahaman, A high flux polyvinyl acetate-coated electrospun nylon 6/SiO<sub>2</sub> composite microfiltration membrane for the separation of oil-in-water emulsion with improved antifouling

دو تا سه ساعت رخ می‌دهد و سپس جذب کاتیون‌های جدید آغاز می‌شود. تحلیل نتایج آزمایشگاهی نشان داد که رفتار جذب به صورت فیزیکی است. برآش مدل سیتیکی حاکی از تبعیت رفتار جذب از مدل شبه درجه اول است. بیشینه مقدار جذب شده برای کاتیون فلزات Cu, Ni و Co به ترتیب برابر ۴/۸، ۹/۶ و ۸/۷ میلی‌گرم بر سانتی‌متر مربع بود که بیانگر بهره‌وری بالای نانوجاذب کامپوزیتی نایلون ۶/ زیرکونیا در جذب کاتیون‌های فلزات سنگین است. با توجه به نتایج این پژوهش، با توسعه فرایند الکتروریسی و استفاده از نانوذرات سرامیکی فرایند تصفیه آب و بازگردانی پساب‌های صنعتی به چرخه مصرف امکان‌پذیر خواهد شد.

### سپاسگزاری

نویسنده‌گان این مقاله از مرکز فناوری نانو پژوهشگاه نیرو بابت حمایت از این پژوهش تحت طرح با شماره ۹۵/۳۰۵/۱۵۳ تشكر و قدردانی می‌نمایند.

### مراجع

1. Ilona Heidmann, Wolfgang Calmano, Removal of Zn(II), Cu(II), Ni(II), Ag(I) and Cr(VI) present in aqueous solutions by aluminium electrocoagulation, Journal of Hazardous Materials 152 (2008) 934–941.
2. سید سیاوش مدانی، غشا و فرایندهای غشایی، فصل اول، دوم، انتشارات طاق بستان. ۱۳۸۱.
3. Lin Hu, Xue-Wu Yan, Xue-Ji Zhang, Dan Shan, Integration of adsorption and reduction for uranium uptake based on SrTiO<sub>3</sub>/TiO<sub>2</sub> electrospun nanofibers, Applied Surface Science 428 (2018) 819–824.
4. R. Wang, A. Lajevardi-Khosh, S. Choi, J. Cha, Regenerative surface plasmon resonance (SPR), biosensor: Real-time measurement of fibrinogen in undiluted human serum using the competitive adsorption of proteins, Biosens. Bioelectron. 28(2011) 304-307.
5. L.A. Chen, R.G. Carbonell, G.A. Serad, Recovery of proteins and other biological compounds from food processing wastewaters using fibrous materials and polyelectrolytes, Water. Res., 34(2000) 510-518.
6. H. Zhang, X. Jia, F. Han, J. Zhao, Y. Zhao, Y. Fan, X. Yuan, Dual-delivery of VEGF and PDGF by doublelayered electrospunmembranes for blood vessel regeneration, Biomaterials. 34 (2013) 2202-2212.
7. M.M.A. Shirazi, A. Kargari, S. Bazgir, M. Tabatabaei, M.J.A. Shirazi, M.S. Abdullah, T. Matsuura, A.F. Ismail, Characterization of electrospun polystyrene membranefor treatment of biodiesel's water-washing effluent usingatomic force microscopy, Desalination. 329 (2013) 1-8.
8. Fang Jian, Niu HaiTao, Lin Tong and Wang XunGai., Applications of electrospun nanofibers, Chinese Science, Bulletin, (2008), 2265-2286.
9. Tatsuya Okuyama, Hirotaka Maeda and Emile HidekiShida, Preparation of porous poly(L-lacticacid)/tobermorite composite membranes viaelectrospinning and heat treatment, J Mater Sci, 10853, (2011), 5834-8.

- performance, *Journal of Membrane Science* 537 (2017) 297–309.
- 29. M. Porubska, O. Szöllos, A. Kónová, I. Janigová, M. Jasková, K. Jomová, I. Chodák, FTIR spectroscopy study of polyamide-6 irradiated by electron and proton beams, *Polymer Degradation and Stability*, 97, (2012), 523-531.
  - 30. Kanogwan Tohdee, Lupong Kaewsichan, Asadullah, Enhancement of adsorption efficiency of heavy metal Cu(II) and Zn(II) onto cationic surfactant modified bentonite, *Journal of Environmental Chemical Engineering*, 6, (2018), 2821-2828.
  - 31. Nan Wang, Chien Hsu, Lihua Zhu, Shiojenn Tseng, Jyh-Ping Hsu, Influence of metal oxide nanoparticles concentration on their zeta Potential, *Journal of Colloid and Interface Science* 407 (2013) 22–28.
  - 32. Lei Li, Yanxiang Li, Lixia Cao, Chuanfang Yang, Enhanced chromium (VI) adsorption using nanosized chitosan fibers tailored by electrospinning, *Carbohydrate Polymers* 125 (2015) 206–213.